

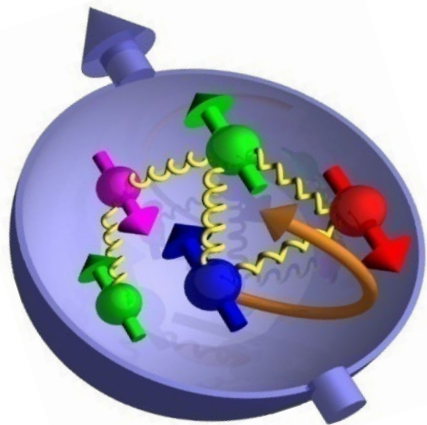
# 陽子内の海クォークはどこまでわかったか？ —反クォークのドレル・ヤン反応による検出—

日本物理学会 2023 年春季大会 チュートリアル講演

2023/03/22, 22aV1-7

中野 健一

バージニア大学



# 目次

1. はじめに — 陽子の内部構造 & “核子物理”
2. 陽子のパートン構造
  - 深非弾性散乱 (Deep Inelastic Scattering)
  - パートン分布関数
  - 海クォーク (~ 反クォーク) の生成機構
3. ドレル・ヤン反応
  - 反クォークの直接測定法
  - 実験セットアップ例
4. 反クォーク分布のフレーバー非対称性
  - フレーバー非対称性の理論的・実験的背景
  - SeaQuest 実験による測定結果 & 理論計算との比較
5. 反クォークの軌道運動
  - 反クォークの Sivers 分布関数
  - ドレル・ヤン反応を用いた測定法
  - SpinQuest 実験で予想される測定結果
6. まとめ

# クォーク

- カレント (Current) クォーク

Particle Data Group, PTEP 2022, 083C01

フレーバー		質量	電荷	アイソスピン $I_z$
アップ	(u)	2 MeV	+2/3 e	+1/2
ダウン	(d)	5 MeV	-1/3 e	-1/2
チャーム	(c)	1.3 GeV	+2/3 e	0
ストレンジ	(s)	90 MeV	-1/3 e	0
トップ	(t)	170 GeV	+2/3 e	0
ボトム	(b)	4.2 GeV	-1/3 e	0

- 反クォーク

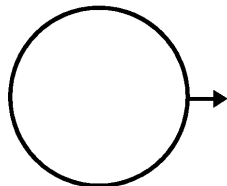
反アップ	( $\bar{u}$ )	2 MeV	-2/3 e	-1/2
反ダウン	( $\bar{d}$ )	5 MeV	+1/3 e	+1/2

- 比較: 構成子 (Constituent) クォーク

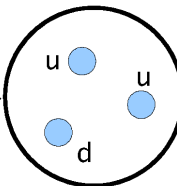
- 陽子 =  $u + u + d$  — 質量 938.27 MeV
- 構成子クォーク質量 ~ 300 MeV

# 陽子(核子)の内部構造 — 観測スケール依存

長距離, 低エネルギー

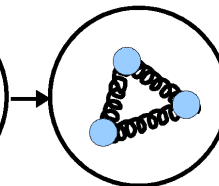


⇒



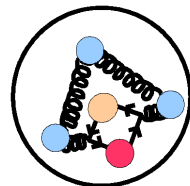
Elementary  
particle

短距離, 高エネルギー



Quark  
model

Gluons  
and QCD

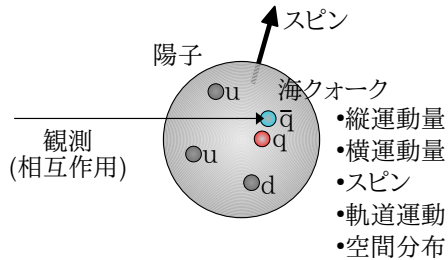


Sea quark

- クォーク模型
  - (Gell-Mann, Zweig, 1964)
  - 構成子クォーク
- パートン模型
  - (Feynman, 1969)
  - 僮 (Valence) クォーク
- パートン模型の発展
  - グルーオン  $g$
  - 海 (Sea) クォーク
  - 動的生成  $g \rightarrow q\bar{q}$

# 核子物理

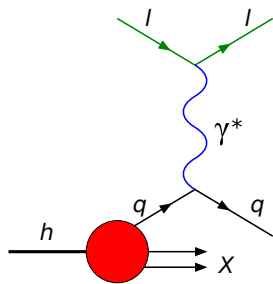
- 高エネルギー散乱を通じて核子(陽子)のパートン構造を解き明かす
- エネルギー  $\gtrsim 1 \text{ GeV} \iff \text{距離} \lesssim 1 \text{ fm}$
- クォーク・反クォーク・グルーオン構造
- 本講演では海クォークに注目



## 2. 陽子のパートン構造

# 深非弾性散乱 (Deep Inelastic Scattering: DIS)

- $l + p \rightarrow l + X$



$P^{lab} (M, \mathbf{0})$	陽子の 4 元運動量
$\ell = (\epsilon, \ell)$	始状態の電子の 4 元運動量
$\ell' = (\epsilon', \ell')$	終状態の電子の 4 元運動量
$q = \ell - \ell'$	仮想光子の 4 元運動量
$\nu = P \cdot q / M$	仮想光子のエネルギー
$Q^2 = -q^2$	観測スケール
$x = \frac{Q^2}{2P \cdot q}$	Bjorken のスケーリング変数

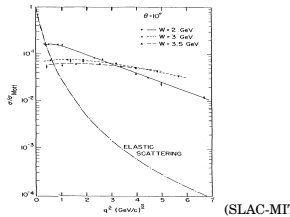
- 反応断面積 (実験室系)

$$\frac{d^2\sigma}{d\Omega d\epsilon'} = \frac{\alpha^2}{4\epsilon^2 \sin^4 \frac{\theta}{2}} \left( \frac{1}{\nu} F_2(x, Q^2) \cos^2 \frac{\theta}{2} + \frac{2}{M} F_1(x, Q^2) \sin^2 \frac{\theta}{2} \right)$$

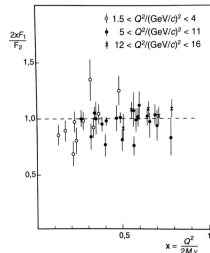
- 構造関数:  $F_1(x, Q^2)$  &  $F_2(x, Q^2)$  — 電磁相互作用の対称性を満たす自由度

# DIS によるパートンの発見

- パートンは強い相互作用の閉じ込めにより単独では存在・観測しない
- Bjorken スケーリング則
  - $F_1(x, Q^2) \xrightarrow[Q^2 \rightarrow \infty]{x \text{ fixed}} F_1(x)$ ,
  - $F_2(x, Q^2) \xrightarrow[Q^2 \rightarrow \infty]{x \text{ fixed}} F_2(x)$
  - 構造関数は  $x$  のみに依存する
  - パートン = 点状粒子
- Callen-Gross 関係式
  - $2xF_1 = F_2$
  - パートン = スピン 1/2 粒子  
= クォーク



(SLAC-MIT)

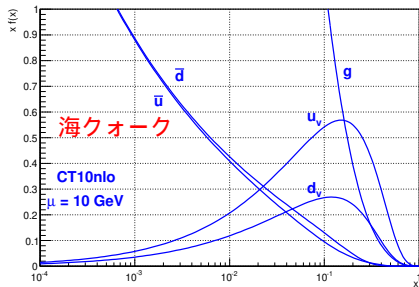
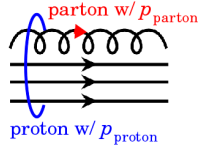


- DIS によりパートンの存在は証明され、その分布量が測定できる
- $F_2(x, Q^2) = x \cdot \sum_f e_f^2 (q_f(x, Q^2) + \bar{q}_f(x, Q^2))$

# パートン分布関数 (Parton Distribution Function)

- スケーリング変数  $x$  は“パートンが担う運動量比”と解釈可:  $x = \frac{p_{\text{parton}}}{p_{\text{proton}}}$
- 非偏極 PDF

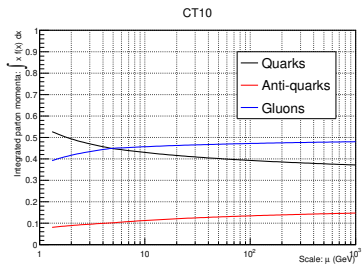
- 運動量比  $x$  を担うパートンの分布密度
  - フレーバー毎:  $u(x), \bar{u}(x), d(x), \bar{d}(x), G(x)$ , etc.
- ⇒  $\int_0^1 u(x)dx$  — 陽子内の  $u$  クォークの総数  
⇒  $\int_0^1 xu(x)dx$  —  $u$  クォークが担う運動量比の合計



- $u_v(x) \equiv u(x) - \bar{u}(x)$
  - $d_v(x) \equiv d(x) - \bar{d}(x)$
  - $\int_0^1 u_v(x)dx = 2$  個
  - $\int_0^1 d_v(x)dx = 1$  個
- 小  $x$  では海クォークが支配的

# 電荷を持たないパートン = グルーオン

- $e + p$  &  $e + n$  の DIS による構造関数  $F_2$  の測定
  - $\int_0^1 dx (F_2^{ep}(x) + F_2^{en}(x)) = \frac{5}{9} \int_0^1 dx x (q(x) + \bar{q}(x)) = \frac{5}{9} \cdot 0.54$
  - 陽子の運動量の約 1/2 は DIS (電磁相互作用) で見えない



- グルーオン分布:  $G(x)$ 
  - DIS 反応断面積の観測スケール依存性
  - ハドロン + ハドロンでのジェット生成断面積 ( $g + g \rightarrow g + g$ , etc.)
- 陽子の運動量の内訳
  - $q : \bar{q} : g \sim 45\% : 10\% : 45\% @ \mu \sim 10 \text{ GeV}$
  - 動的に生じる海クォークとグルーオンの寄与がむしろ支配的
  - PDF の観測スケール依存性 = DGLAP 発展方程式

# 陽子のスピン問題

- 縦偏極 PDF: パートンのスピン状態を定めた PDF

- $\Delta q(x) \equiv q^+(x) - q^-(x)$
- $\Delta \bar{q}(x) \equiv \bar{q}^+(x) - \bar{q}^-(x)$
- $\Delta G(x) \equiv G^+(x) - G^-(x)$

$+ :$  parton spin  
 $- :$  proton spin

- EMC 実験の測定結果 (1989)

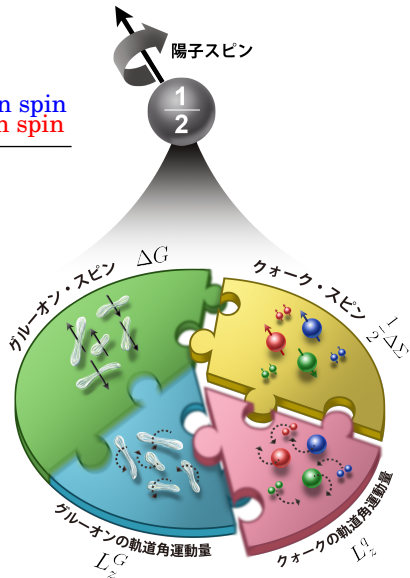
- クォークのスピンの総和:  
$$\frac{1}{2}\Delta\Sigma \equiv \frac{1}{2} \sum_q \int dx (\Delta q(x) + \Delta \bar{q}(x))$$
- クォークのスピンの寄与は  $(12 \pm 9 \pm 14)\%$  とたいへん小さい

- 多数の実験結果の総合解析

- $\frac{1}{2}\Delta\Sigma \approx 30\%$

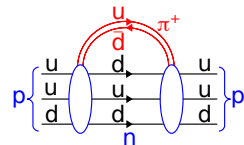
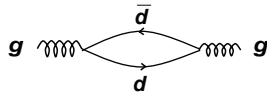
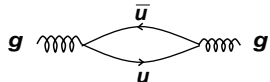
- グルーオンのスピン  $\Delta G$  とパートンの軌道角運動量  $L_z$  の必要性

- $\frac{1}{2}\text{陽子} = \frac{1}{2}\Delta\Sigma + \Delta G + L_z^q + L_z^G$
- 広汎な核子研究の発端となった

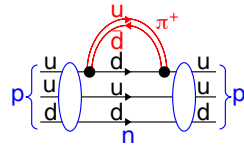


# 海クォーク ( $\approx$ 反クォーク) の生成機構

- クォーク (摂動論) 的過程
  - グルーオンからのクォーク対の生成
- ハドロン (非摂動論) 的過程
  - 中間子雲モデル



- カイラルクォークモデル



- ...

# 中間子雲モデルでの反クォークの生成

- 陽子 觀測 = ハドロン + 中間子雲:

$$|p\rangle = (1 - a - b)|p_0\rangle + a|N\pi\rangle + b|\Delta\pi\rangle$$

- $\bar{d}$  は  $|n\pi^+\rangle$  状態の  $\pi^+$  等として生じる
- $\bar{u}$  は  $|\Delta^{++}\pi^-\rangle$  状態の  $\pi^-$  等として生じる

- 反クォークの総量

$$= \sum [\text{ハドロンと中間子の中の反クォーク}]$$

- $\bar{u}_p(x) \sim \bar{u}_{p0}(x) + f_{\pi N} \otimes \bar{u}_\pi(x) + f_{\pi\Delta} \otimes \bar{u}_\pi(x)$

- $f_{\pi N} \otimes \bar{u}_\pi(x) = \int_x^1 \frac{dy}{y} f_{\pi N}(y) \bar{u}_\pi(x/y)$

- $f_{\pi N}(y)$ :  $\pi$ - $N$  分岐関数

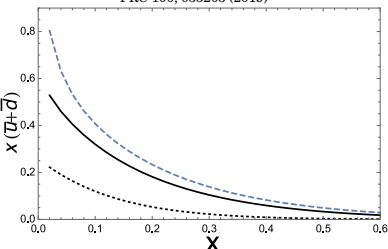
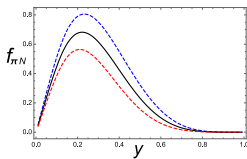
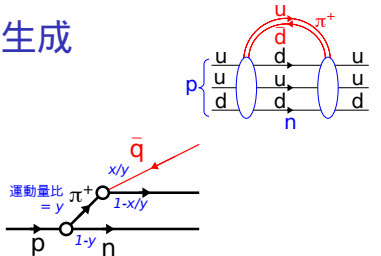
- $\bar{u}_\pi(x/y)$ : パイオン内反クォーク分布関数

- $\bar{d}_p(x)$  も同様

- 実験データの総合解析の結果

(CT14) とおよそ一致

- この描像はどこまで正しいのか?  
他の量の再現性は?



# 海クォーク研究の意義

- 海クォーク = 陽子の構造に欠かせない一成分
  - “価” クォークだけでは陽子の価数 (valence) は決まらない
  - 陽子の運動量・スピン・空間分布の一部は海クォークが担っているはず
- 海クォークは、陽子内のパートン相互作用の機構に比例的感度がある
  - 全ての海クォーク ( $\approx$  反クォーク) は生成・消滅を繰り返している
  - 反クォーク生成の状態 (スピン/フレーバー等) で相互作用の性質が変われば、それは反クォークの分布量に比例して現れる  
(cf. クォーク生成量は価クォーク分布量で薄められてしまう)
    - 例:  $\bar{u}$  と  $\bar{d}$  はどのように生成するか? 強い相互作用なのでフレーバー間に差異は無いか?
  - クォーク・グルーオン分布の理解の一助

↓

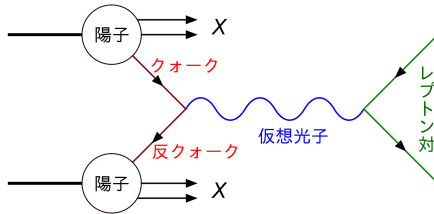
1. 反クォーク PDF の高精度測定
2. 陽子のパートン構造の解明
  - 反クォークの寄与
  - クォーク・グルーオンとの統一的理解

### 3. ドレル・ヤン反応

陽子内の反クオーケを調べる方法

# ドレル・ヤン反応とは？

- ハドロン-ハドロン散乱からの大不变質量を持つレプトン対の生成



$$q + \bar{q} \rightarrow \gamma^* \rightarrow l^+ + l^-$$

- 始状態:  $p + p, \pi + p, p + A$ , etc.
- 終状態:  $\mu^+ + \mu^-, e^+ + e^-$ , etc.

# 最初の理論的予測

- By two theorists, S. D. Drell & T.-M. Yan — PRL25, 316 (1970)

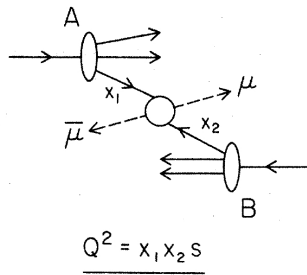
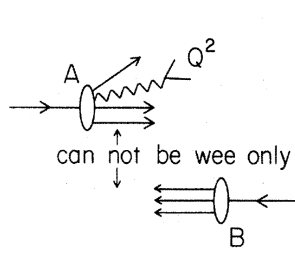
MASSIVE LEPTON-PAIR PRODUCTION IN HADRON-HADRON COLLISIONS AT HIGH ENERGIES\*

Sidney D. Drell and Tung-Mow Yan

Stanford Linear Accelerator Center, Stanford University, Stanford, California 94305

(Received 25 May 1970)

On the basis of a parton model studied earlier we consider the production process of large-mass lepton pairs from hadron-hadron inelastic collisions in the limiting region,  $s \rightarrow \infty$ ,  $Q^2/s$  finite,  $Q^2$  and  $s$  being the squared invariant masses of the lepton pair and the two initial hadrons, respectively. General scaling properties and connections with deep inelastic electron scattering are discussed. In particular, a rapidly decreasing cross section as  $Q^2/s \rightarrow 1$  is predicted as a consequence of the observed rapid falloff of the inelastic scattering structure function  $\nu W_2$  near threshold.



(a)

(b)

# 最初の実験的観測

- In  $p+U$  at CERN — PRL25, 1523 (1970)

## Observation of Massive Muon Pairs in Hadron Collisions\*

J. H. Christenson, G. S. Hicks, L. M. Lederman, P. J. Limon, and B. G. Pope

Columbia University, New York, New York 10027, and Brookhaven National Laboratory, Upton, New York 11973

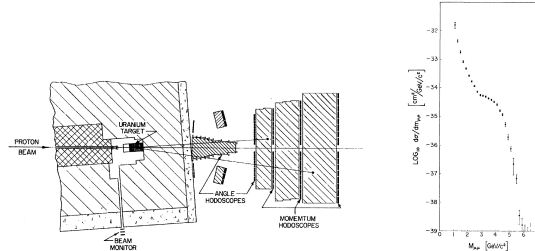
and

E. Zavattini

CERN Laboratory, Geneva, Switzerland

(Received 8 September 1970)

Muon pairs in the mass range  $1 < m_{\mu\mu} < 6.7 \text{ GeV}/c^2$  have been observed in collisions of high-energy protons with uranium nuclei. At an incident energy of 29 GeV, the cross section varies smoothly as  $d\sigma/dm_{\mu\mu} \approx 10^{-32}/m_{\mu\mu}^{5.5} \text{ cm}^2 (\text{GeV}/c)^{-2}$  and exhibits no resonant structure. The total cross section increases by a factor of 5 as the proton energy rises from 22 to 29.5 GeV.



- “No resonant structure”...
- $J/\psi$  discovery in 1974 at SLAC SPEAR ( $e^+ + e^-$ ) & BNL AGS ( $p+Be$ )

# ドレル・ヤン反応断面積

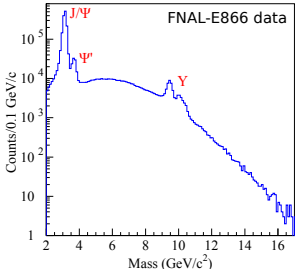
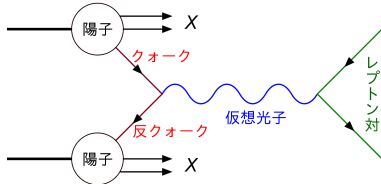
- 運動学的变数

- $\sqrt{s}$ : ハドロン-ハドロン 重心系エネルギー
- $M$ : 不变質量 ( $= x_{beam}x_{target}s$ )
- $x_{beam}$ : ビーム側の Bjorken  $x$
- $x_{target}$ : 標的側の Bjorken  $x$

- 反応断面積 @ LO

$$\frac{d^2\sigma}{dx_{beam}dx_{target}} = \frac{4\pi\alpha^2}{9x_{beam}x_{target}} \frac{1}{s} \sum_i e_i^2 \left\{ q_i(x_{beam}) \bar{q}_i(x_{target}) + \bar{q}_i(x_{beam}) q_i(x_{target}) \right\}$$

- 電磁相互作用なので  $\sigma$  は比較的小さい
- $J/\psi$ ,  $\Upsilon$  等の共鳴ピークの下の連続分布がシグナル



# ドレル・ヤン反応を用いた反クォークの直接測定

- 実験的工夫

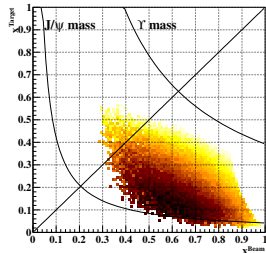
- 前方測定

- 断面積の “ $q(x_{beam})\bar{q}(x_{target})$ ” の項が支配的  
⇒ 常に ピーム側に  $q$  & 標的側に  $\bar{q}$

- 不变質量大 ⇒  $x_{target}$  &  $x_{beam}$  大

- 水素 & 重水素標的の併用

- 反クォークのフレーバー ( $\bar{u}$  vs  $\bar{d}$ ) の実験的分離 — 後述

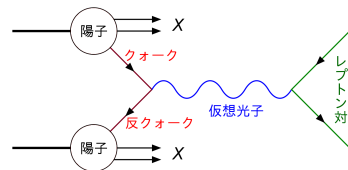


- イベントごとに  $q$  と  $\bar{q}$  が各々の  $x$  の値も含めて決定可

- $\sigma(x_{target}) \propto \bar{q}(x_{target})$  と比例的感度

- 理論的にクリーンな終状態

- $\mu^\pm$  は強い相互作用による副次散乱を起こさない

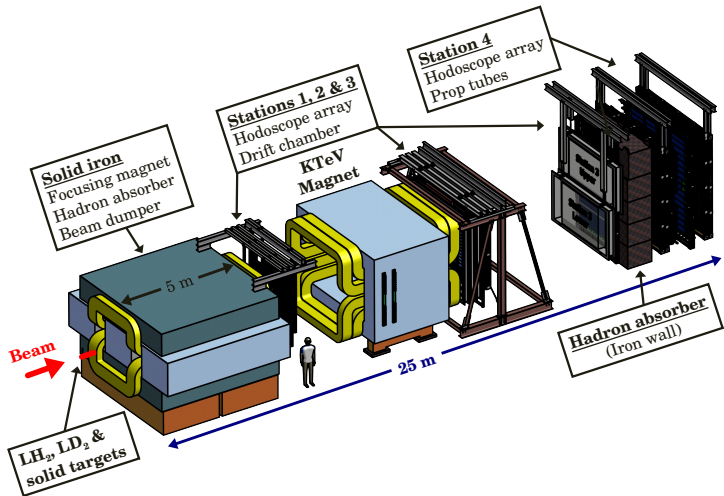


# ドレル・ヤン反応の計測 @ フェルミ国立加速器研

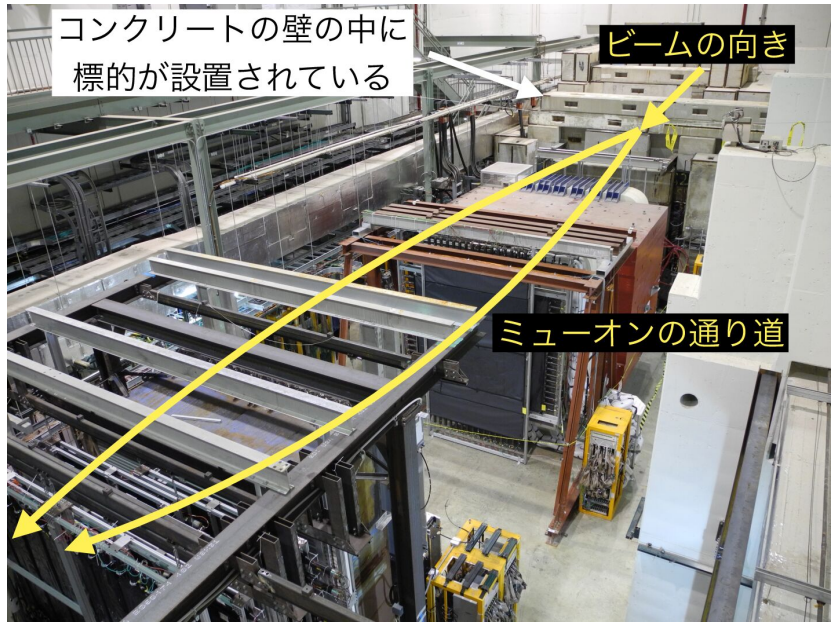


- 陽子ビーム  
(Main Injector より)
- エネルギー  $E = 120 \text{ GeV}$   
( $\sqrt{s} = 15 \text{ GeV}$ )
- 強度  $\sim 10^{12} \text{ protons/sec}$

# SeaQuest 検出器



- ターゲット: LH<sub>2</sub>, LD<sub>2</sub>, 他
- ドレル・ヤン反応からの  $\mu^+ \mu^-$  対を検出
- 検出器は偏極ドレル・ヤン反応の実験 (SpinQuest) でも利用



## 4. 反クォーク分布のフレーバー非対称性

$$\bar{u}(x) = \begin{matrix} > \\ \bar{d}(x) \\ < \\ ?? \end{matrix} \quad \text{in the proton}$$

# 反クォーク ( $\bar{u}$ vs $\bar{d}$ ) のフレーバー対称性

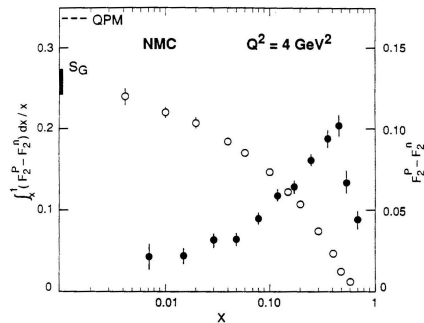
- 対称であるべき?

- グルーオンからの対生成:  $g \rightarrow q\bar{q} \implies \bar{d} = \bar{u}$
- Gottfried 和則:

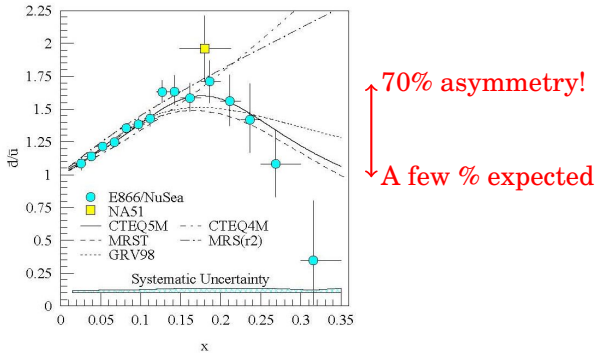
$$\begin{aligned} S_G &= \int_0^1 \frac{dx}{x} \{F_{2p}(x) - F_{2n}(x)\} \\ &= \frac{1}{3} \{(u - \bar{u}) - (d - \bar{d})\} - \frac{2}{3}(\bar{d} - \bar{u}) \\ &= \frac{1}{3} \quad \text{if } \bar{d} = \bar{u} \end{aligned}$$

- CERN NMC (1990):  
ミューオン深非弾性散乱

- Gottfried 和:  $S_G = 0.235 \pm 0.026 < 1/3$   
—和則の破れ
- $\int_0^1 \bar{d}(x)dx - \int_0^1 \bar{u}(x)dx = 0.147 \pm 0.039$   
—反クォークのフレーバー対称性の破れ  
( $\bar{d} > \bar{u}$ ) の発見



- 非対称度の  $x$  依存性 ( $\bar{d}(x)/\bar{u}(x)$ ) の測定: ドレル・ヤン反応
  - CERN NA51 実験 (1994):  $\bar{d} > \bar{u}$  @  $x \sim 0.18$
  - FNAL E866/NuSea 実験 (1998):  $\bar{d}(x)/\bar{u}(x)$  @  $x \in (0.015, 0.35)$



- 大きな  $x$  ( $\gtrsim 0.2$ ) での測定誤差が大きく、理論計算も大きくばらつく  
 ⇒ SeaQuest 実験による高精度測定

# ドレル・ヤン反応を用いた $\bar{d}(x)/\bar{u}(x)$ の測定

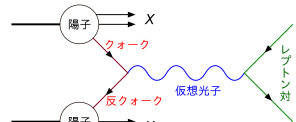
- ドレル・ヤン反応 @ 前方:

$$p + p \rightarrow \gamma^* \rightarrow \mu^+ + \mu^-$$

$$\frac{d^2\sigma}{dx_{beam}dx_{target}} = \frac{4\pi\alpha^2}{9x_{beam}x_{target}s} \sum_{q=u,d} e_q^2 q_{beam}(x_{beam}) \bar{q}_{target}(x_{target})$$

- 陽子ビームと水素 & 重水素標的による反応断面積の比の測定

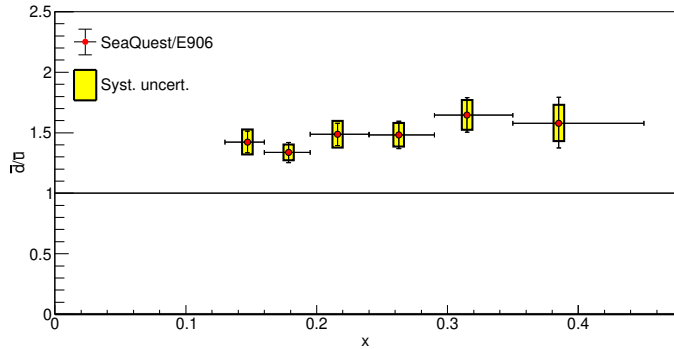
$$\frac{\sigma_D(x_{target})}{2\sigma_H(x_{target})} \approx \frac{1}{2} \left( 1 + \frac{\sigma_{p+n}(x_{target})}{\sigma_{p+p}(x_{target})} \right) \approx \frac{1}{2} \left( 1 + \frac{\bar{d}(x_{target})}{\bar{u}(x_{target})} \right)$$



- データ解析時は断面積比を高次項 (NLO) まで計算
- 強い相互作用によるバックグラウンド粒子 ( $\pi^\pm \rightarrow \mu^\pm$  等) を測定データより除外

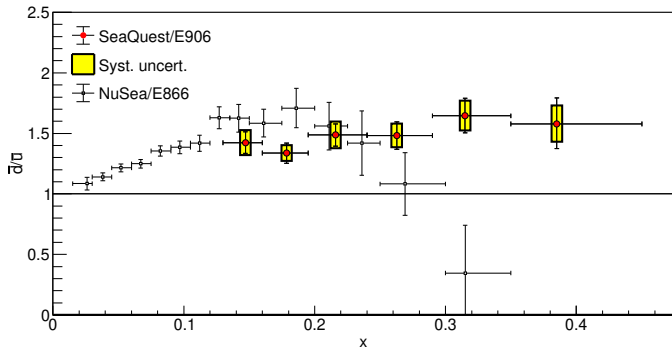
# $\bar{d}(x)/\bar{u}(x)$ の測定結果

- SeaQuest 実験 — Nature 590, 561 (2021)



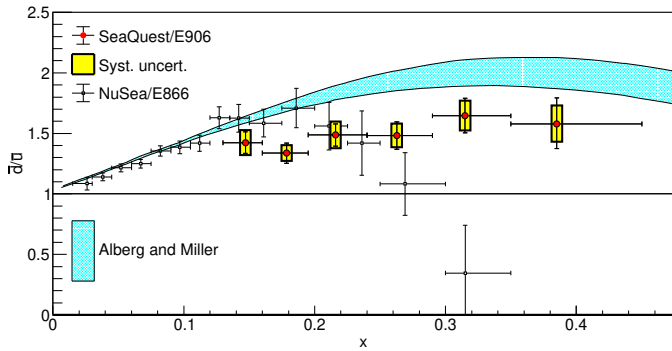
- 大きな  $x$  (0.45) まで測定
- 全ての測定範囲で大きな  $\bar{d}/\bar{u} > 1$  の非対称度を観測

- NuSea/E866 実験との比較



- 小さな  $x$  ( $\sim 0.2$ ) で一致
- より大きな  $x$  ( $0.45$ ) まで高精度に測定
  - $x \sim 0.3$  で実験間に差異

- 理論モデル計算との比較

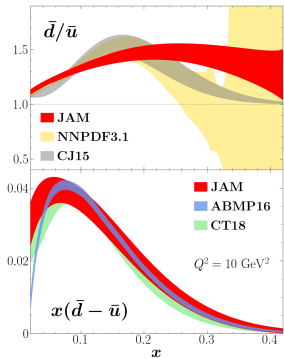


- 中間子雲モデルで  $x$  依存性を再現可 — PRC 100, 035205 (2019)
- 大きな  $x$  で反クォーク分布を決定するユニークなデータ
- モデル計算の再評価 (PRD 105, 114054 (2022)) や SeaQuest データを含めた総合解析が進展中

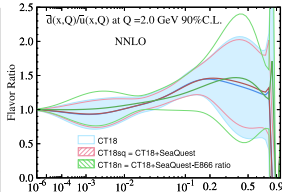
# SeaQuest データを含めた反クォーク PDF の総合解析

- SeaQuest および RHIC-STAR  $W^\pm$  データを含めた  $\bar{d}(x)/\bar{u}(x)$  抽出の例

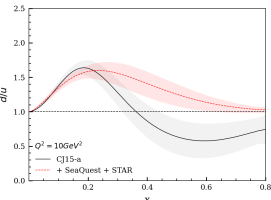
- JAM  
PRD 104, 074031



- CT18sq  
arXiv:2108.06596



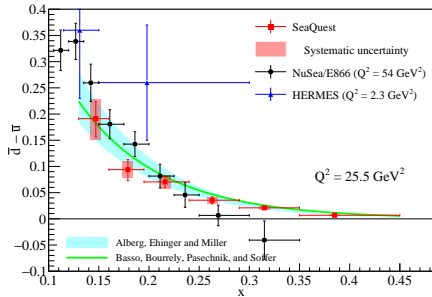
- CJ15-a+  
arXiv:2108.05786



- 種々の分布形状や分布モデルを用いたデータの検証が進行中

# 分布量の差: $\bar{d}(x) - \bar{u}(x)$

- ハドロン(非摂動論)的過程で生じる  $\bar{q}$  に注目
  - パートン(摂動論)的過程 ( $g \rightarrow q\bar{q}$ ) は  $\bar{d} \approx \bar{u}$  なので相殺
- $\bar{d}(x)/\bar{u}(x)$  の測定結果より抽出 — arXiv:2212.12160 (Jan. 2023)



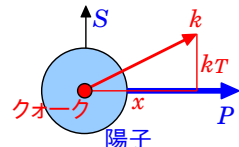
- モデル計算との一致度は  $\bar{d}(x)/\bar{u}(x)$  よりも良い
- モデル計算におけるパートン的過程の精度が誤差要因?

## 5. 反クォークの軌道運動

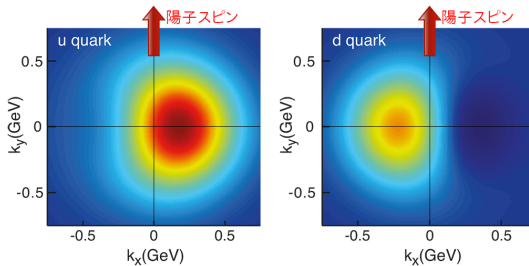
Sivers 分布関数

# Sivers 分布関数

- パートンの横運動量 ( $k_T$ ) を自由度に追加  
⇒ Transverse-Momentum-Dependent (TMD) PDF



- Sivers 分布関数:  $f_{1T}^\perp(x, k_T)$   
≈ 陽子スピン ( $S$ ) とパートン横運動量 ( $k_T$ ) の相関の強さ



EPJA 52, 268

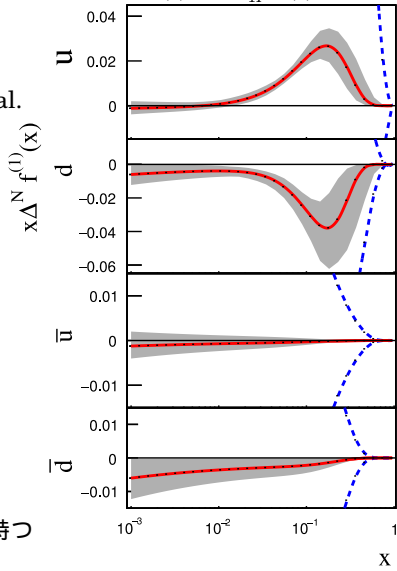
- パートンの軌道運動 ⇒ 空間分布の偏り ⇒  $k_T$  の偏り
- パートンが陽子スピンを軸として多次元構造をしている証拠

# Sivers 分布関数の現状

- 実験データの総合解析による抽出
  - HERMES (2005), COMPASS & JLab 実験データの利用
  - 例: JHEP 04 (2017) 046, M. Anselmino et al.
- クォークの Sivers 分布関数は非ゼロ
  - クォーク横運動量は陽子スピンと相関有り
- 反クォークの Sivers 分布関数
  - そもそも相関は有る?
  - クォークとの違いは?
- SpinQuest 実験 @ フェルミ国立加速器研:  
反クォークの Sivers 分布関数の直接測定
  - 横偏極の(重)陽子標的の開発
  - 横偏極ドレル・ヤン反応の計測
  - 非ゼロの結果
    - ⇒ 反クォークが横運動量・軌道角運動量を持つ
    - ⇒ 陽子の多次元パートン構造の一成分

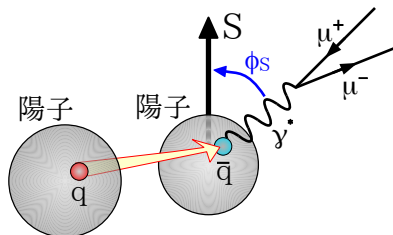
Sivers 分布関数の 1 次モーメント:

$$x \Delta^N f^{(1)}(x) \equiv -x f_{1T}^{\perp(1)}(x)$$



# 反クォーク Sivers 分布関数の測定 @ SpinQuest 実験

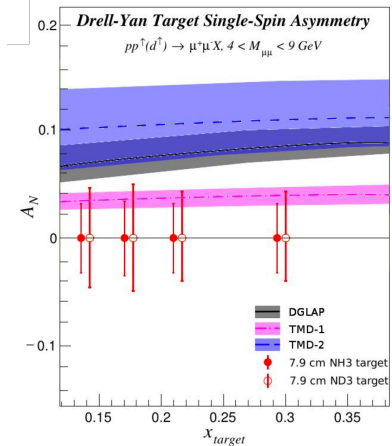
- 陽子ビーム + 横偏極  $\text{NH}_3$  &  $\text{ND}_3$  標的
- ドレル・ヤン反応 @ 前方 — SeaQuest 実験の測定手法と同様
  - 偏極陽子(標的)の反クォークが反応



- 観測量: 横单スピン非対称度  $A_N$   
$$A_N(\phi_S) \equiv \frac{\sigma^\uparrow(\phi_S) - \sigma^\downarrow(\phi_S)}{\sigma^\uparrow(\phi_S) + \sigma^\downarrow(\phi_S)} \sim \frac{f(x_B) \cdot f_{1T}^{\perp, \bar{f}}(x_T)}{f(x_B) \cdot \bar{f}(x_T)}$$
  - $\phi_S$  ~ 陽子スピンとミューオン対 (=仮想光子) の間の方位角
  - Sivers 分布関数が非ゼロ  
     $\Rightarrow$  陽子スピンと反クォーク横運動量が相關  
     $\Rightarrow$   $\phi_S$  分布が偏る  
     $\Rightarrow$   $A_N$  が非ゼロ

# SpinQuest 実験で予想される結果

- 実験の現状 & 計画
  - 偏極標的・検出器は準備完了
  - 2023年春:  
陽子ビームを用いたコミッショニング
  - 2023年から2年間のデータ収集
- 横单スピン非対称度:  $A_N^{\sin \phi_S}$ 
  - $0.1 \lesssim x_{target} \lesssim 0.3$
  - 測定精度  $\delta_{A_N} \sim 0.04$
- 非ゼロの反クォーク Sivers 分布関数  
(と  $x$  依存性) の初観測を目指す



# 6. まとめ

- 核子物理
  - 陽子 = クォーク + 反クォーク + グルーオン @ 高エネルギー・スケール
  - 陽子の質量/電荷/スピン等はどう形作られているか?
- 陽子内の海クォーク
  - 存在は確認されており、分布量が測定されつつある
  - 精密測定に基づいて生成機構を検証中
  - パートン相互作用の新たな性質に感度があると期待
- ドレル・ヤン反応:  $q + \bar{q} \rightarrow \gamma^* \rightarrow l^+ + l^-$ 
  - 古く 1970 年から理論的・実験的に研究
  - 反クォーク分布のフレーバーごとの直接測定が可能

- 反クォーク分布のフレーバー非対称性 — SeaQuest 実験
  - 広い  $x$  の範囲 (0.1–0.45) で大きな非対称度 ( $\bar{d}/\bar{u} \approx 1.5$ )
  - 中間子雲モデルなどである程度再現可
  - ハドロン(非摂動論)的な反クォーク生成過程が支配的か
  - モデル計算の再評価や新データを含めた総合解析が進展中
- 反クォークの軌道運動 — SpinQuest 実験
  - Sivers 分布関数  $\approx$  陽子スピン ( $S$ ) とパートン横運動量 ( $k_T$ ) の相関の強さ
  - 反クォークの Sivers 分布関数が非ゼロ  
➡ 反クォークが横運動量・軌道角運動量を持つ
  - 横偏極標的を用いたドレル・ヤン反応の測定
  - 2023 年に 2 年間のデータ収集を開始